

(HUANJING KEXUE)

# ENVIRONMENTAL SCIENCE

第35卷 第10期

Vol.35 No.10

2014

中国科学院生态环境研究中心 主办

斜学出版社出版



## 孫 佬 辩 享 (HUANJING KEXUE)

### ENVIRONMENTAL SCIENCE

第35卷 第10期 2014年10月15日

### 目 次

基于虚拟撞击原理的固定源 PM <sub>10</sub> /PM <sub>2.5</sub> 采样器的研制 蒋靖坤,邓建国,段雷,张强,李振,陈小形,李兴华,郝吉明(3639)
1992~2012年福州市和厦门市酸雨变化特征及影响因素 郑秋萍,王宏,陈彬彬,隋平,林文(3644)
青岛近海不同天气状况下大气气溶胶中金属元素浓度分布特征研究 … 陈晓静,祁建华,刘宁,张翔宇,申恒青,刘明旭(3651)
化学合成类制药行业工艺废气 VOCs 排放特征与危害评估分析 李嫣,王浙明,宋爽,徐志荣,许明珠,徐威力(3663)
烧结过程 NO 和 SO 形成却律及烧结料组成对 NO 排放的影响
烧结过程 $NO_{*}$ 和 $SO_{2}$ 形成规律及烧结料组成对 $NO_{*}$ 排放的影响 ····································
黑河中游边缘荒漠-绿洲非饱和带土壤质地对土壤氮积累与地下水氮污染的影响
無河中研辺缘元侯-绿洲非饱和市工展质地对工展氮积系与地下小氮污染的影响 ·········· 赤木中,物院,物宋(3083) 海河流域河流生态系统健康评价 ······ 郝利霞,孙然好,陈利顶(3692)
神河流域河流生态系统健康评价
台州长潭水库铁锰质量浓度变化特征及其成因分析
台州长潭水库铁锰质量浓度变化特征及其成因分析 · · · · · · · · · · · · · · · · · · ·
岩溶地下河水文地球化学对降雨的响应:以重庆雪玉洞地下河系统为例 王凤康,梁作兵,于正良,江泽丽(3716)
岩溶地下河流域水中多环芳烃污染特征及生态风险评价 … 蓝家程,孙玉川,田萍,卢丙清,师阳,徐昕,梁作兵,杨平恒(3722)
废旧电器拆解区河流沉积物中多溴联苯醚(PBDEs)的污染特征与生态风险 ····································
海河流域中南部河流沉积物的重金属牛杰风险评价
海河流域中南部河流沉积物的重金属生态风险评价
行河下游 CDOM 吸收 与带来特性的季节变化研究
辽河下游 CDOM 吸收与荧光特性的季节变化研究····································
伊·小侯仲须旭·华西汉小州从侧须杀·攻权州及阳化印影响 ————————————————————————————————————
地表水体放线菌分离鉴定与致嗅能力研究 陈娇,白晓慧,卢宁,王先云,章永辉,吴潘成,郭心驰(3769)
地下水循环井技术修复硝基苯污染含水层效果模拟 白静,赵勇胜,孙超,秦传玉,于凌(3775)
茶叶基水合氧化铁吸附水体中Pb(Ⅱ)的性能 ······ 万顺利,薛瑶,马钊钊,刘国斌,余艳霞,马明海(3782)
紫外辐射对小分子有机酸化学凝聚性作用途径探讨 王文东,王亚博,范庆海,丁真真,王文,宋珊,张银婷(3789)
水中普萘洛尔的紫外光降解机制及其产物毒性
二氧化钛(P25)光催化降解二苯砷酸的研究 王阿楠,滕应,骆永明(3800)
碳氮比对聚氨酯生物膜反应器短程硝化反硝化的影响 谭冲,刘颖杰,王薇,邱珊,马放(3807)
城市污泥中温厌氧消化过程中厌氧耐药菌的分布与去除研究 佟娟,王元月,魏源送(3814)
快速城市化区域表层土壤中杀虫剂的空间分布及风险评估
- 重庆铁山坪马尾松林土壤汞排放特征的现场测试 ································ 朴宝玉 王琼 罗瑶 段雷(3830)
快速城市化区域表层土壤中杀虫剂的空间分布及风险评估
应用 X 射线吸收近边结构谱研究东北农耕土壤中的氯种态及含量····································
应用 X 射线吸收近边结构谱研究东北农耕土壤中的氯种态及含量····································
应用 X 射线吸收近边结构谱研究东北农耕土壤中的氯种态及含量
应用 X 射线吸收近边结构谱研究东北农耕土壤中的氯种态及含量 李晶,郎春燕,马玲玲,徐殿斗,郑雷,路雨楠,崔丽瑞,张晓萌(3836) 植被重建下煤矿排土场土壤熟化过程中碳储量变化 李俊超,党廷辉,郭胜利,薛江,唐骏(3842) 硫素对氧化还原条件下水稻土氧化铁和砷形态影响 ····································
应用 X 射线吸收近边结构谱研究东北农耕土壤中的氯种态及含量 李晶,郎春燕,马玲玲,徐殿斗,郑雷,路雨楠,崔丽瑞,张晓萌(3836) 植被重建下煤矿排土场土壤熟化过程中碳储量变化 李俊超,党廷辉,郭胜利,薛江,唐骏(3842) 硫素对氧化还原条件下水稻土氧化铁和砷形态影响 ····································
应用 X 射线吸收近边结构谱研究东北农耕土壤中的氯种态及含量 李晶,郎春燕,马玲玲,徐殿斗,郑雷,路雨楠,崔丽瑞,张晓萌(3836) 植被重建下煤矿排土场土壤熟化过程中碳储量变化 李俊超,党廷辉,郭胜利,薛江,唐骏(3842) 硫素对氧化还原条件下水稻土氧化铁和砷形态影响 唐冰培,杨世杰,王代长,饶伟,张亚楠,王丹,朱云集(3851) 外生菌根真菌对 Al³+胁迫和低钾土壤的响应 张薇,黄建国,袁玲,李阳波,何林卫(3862) 长期施用猪粪水稻土抗生素抗性基因污染研究 黄福义,李虎,韦蓓,欧阳纬莹,苏建强(3869)
应用 X 射线吸收近边结构谱研究东北农耕土壤中的氯种态及含量 李晶,郎春燕,马玲玲,徐殿斗,郑雷,路雨楠,崔丽瑞,张晓萌(3836)植被重建下煤矿排土场土壤熟化过程中碳储量变化 李俊超,党廷辉,郭胜利,薛江,唐骏(3842)硫素对氧化还原条件下水稻土氧化铁和砷形态影响 唐冰培,杨世杰,王代长,饶伟,张亚楠,王丹,朱云集(3851)外生菌根真菌对 Al³ 胁迫和低钾土壤的响应 张薇,黄建国,袁玲,李阳波,何林卫(3862)长期施用猪粪水稻土抗生素抗性基因污染研究 黄福义,李虎,韦蓓,欧阳纬莹,苏建强(3869)外源添加磷和有机酸模拟铅污染土壤钝化效果及产物的稳定性研究 左继超 高婷婷 苏小娟 万田菜 胡红青(3874)
应用 X 射线吸收近边结构谱研究东北农耕土壤中的氯种态及含量 李晶,郎春燕,马玲玲,徐殿斗,郑雷,路雨楠,崔丽瑞,张晓萌(3836)植被重建下煤矿排土场土壤熟化过程中碳储量变化 李俊超,党廷辉,郭胜利,薛江,唐骏(3842)硫素对氧化还原条件下水稻土氧化铁和砷形态影响 唐冰培,杨世杰,王代长,饶伟,张亚楠,王丹,朱云集(3851)外生菌根真菌对 Al³ 胁迫和低钾土壤的响应 张薇,黄建国,袁玲,李阳波,何林卫(3862)长期施用猪粪水稻土抗生素抗性基因污染研究 黄福义,李虎,韦蓓,欧阳纬莹,苏建强(3869)外源添加磷和有机酸模拟铅污染土壤钝化效果及产物的稳定性研究 左继超 高婷婷 苏小娟 万田菜 胡红青(3874)
应用 X 射线吸收近边结构谱研究东北农耕土壤中的氯种态及含量 李晶,郎春燕,马玲玲,徐殿斗,郑雷,路雨楠,崔丽瑞,张晓萌(3836)植被重建下煤矿排土场土壤熟化过程中碳储量变化 李俊超,党廷辉,郭胜利,薛江,唐骏(3842)硫素对氧化还原条件下水稻土氧化铁和砷形态影响 唐冰培,杨世杰,王代长,饶伟,张亚楠,王丹,朱云集(3851)外生菌根真菌对 Al³ 胁迫和低钾土壤的响应 张薇,黄建国,袁玲,李阳波,何林卫(3862)长期施用猪粪水稻土抗生素抗性基因污染研究 黄福义,李虎,韦蓓,欧阳纬莹,苏建强(3869)外源添加磷和有机酸模拟铅污染土壤钝化效果及产物的稳定性研究 左继超 高婷婷 苏小娟 万田菜 胡红青(3874)
应用 X 射线吸收近边结构谱研究东北农耕土壤中的氯种态及含量 李晶,郎春燕,马玲玲,徐殿斗,郑雷,路雨楠,崔丽瑞,张晓萌(3836) 植被重建下煤矿排土场土壤熟化过程中碳储量变化 李俊超,党廷辉,郭胜利,薛江,唐骏(3842) 硫素对氧化还原条件下水稻土氧化铁和砷形态影响 唐冰培,杨世杰,王代长,饶伟,张亚楠,王丹,朱云集(3851) 外生菌根真菌对 Al³+胁迫和低钾土壤的响应 张薇,黄建国,袁玲,李阳波,何林卫(3862) 长期施用猪粪水稻土抗生素抗性基因污染研究 黄福义,李虎,韦蓓,欧阳纬莹,苏建强(3869) 外源添加磷和有机酸模拟铅污染土壤钝化效果及产物的稳定性研究 左继超,高婷婷,苏小娟,万田英,胡红青(3874) 污染场地六价铬的还原和微生物稳定化研究 郑家传,张建荣,刘希雯,许倩,施维林(3882) 热强化气相抽提对不同质地土壤中苯去除的影响 李鹏,廖晓勇,阎秀兰,崔骁勇,马栋(3888) 0,浓度升高对南方城市绿化树种氮素的影响 杨田田,张巍巍,胡思柱,王效科,田媛,冯兆忠(3896)
应用 X 射线吸收近边结构谱研究东北农耕土壤中的氯种态及含量 李晶,郎春燕,马玲玲,徐殿斗,郑雷,路雨楠,崔丽瑞,张晓萌(3836) 植被重建下煤矿排土场土壤熟化过程中碳储量变化 李俊超,党廷辉,郭胜利,薛江,唐骏(3842) 硫素对氧化还原条件下水稻土氧化铁和砷形态影响 唐冰培,杨世杰,王代长,饶伟,张亚楠,王丹,朱云集(3851) 外生菌根真菌对 Al³+胁迫和低钾土壤的响应 张薇,黄建国,袁玲,李阳波,何林卫(3862) 长期施用猪粪水稻土抗生素抗性基因污染研究 黄福义,李虎,韦蓓,欧阳纬莹,苏建强(3869) 外源添加磷和有机酸模拟铅污染土壤钝化效果及产物的稳定性研究 左继超,高婷婷,苏小娟,万田英,胡红青(3874) 污染场地六价铬的还原和微生物稳定化研究 郑家传,张建荣,刘希雯,许倩,施维林(3882) 热强化气相抽提对不同质地土壤中苯去除的影响 李鹏,廖晓勇,阎秀兰,崔骁勇,马栋(3888) 0,浓度升高对南方城市绿化树种氮素的影响 杨田田,张巍巍,胡思柱,王效科,田媛,冯兆忠(3896)
应用 X 射线吸收近边结构谱研究东北农耕土壤中的氯种态及含量 李晶,郎春燕,马玲玲,徐殿斗,郑雷,路雨楠,崔丽瑞,张晓萌(3836) 植被重建下煤矿排土场土壤熟化过程中碳储量变化 李俊超,党廷辉,郭胜利,薛江,唐骏(3842) 硫素对氧化还原条件下水稻土氧化铁和砷形态影响 唐冰培,杨世杰,王代长,饶伟,张亚楠,王丹,朱云集(3851) 外生菌根真菌对 Al³+胁迫和低钾土壤的响应 张薇,黄建国,袁玲,李阳波,何林卫(3862) 长期施用猪粪水稻土抗生素抗性基因污染研究 黄福义,李虎,韦蓓,欧阳纬莹,苏建强(3869) 外源添加磷和有机酸模拟铅污染土壤钝化效果及产物的稳定性研究 左继超,高婷婷,苏小娟,万田英,胡红青(3874) 污染场地六价铬的还原和微生物稳定化研究 郑家传,张建荣,刘希雯,许倩,施维林(3882) 热强化气相抽提对不同质地土壤中苯去除的影响 李鹏,廖晓勇,阎秀兰,崔骁勇,马栋(3888) 0,浓度升高对南方城市绿化树种氮素的影响 杨田田,张巍巍,胡思柱,王效科,田媛,冯兆忠(3896)
应用 X 射线吸收近边结构谱研究东北农耕土壤中的氯种态及含量
应用 X 射线吸收近边结构谐研究东北农耕土壤中的氯种态及含量
应用 X 射线吸收近边结构谓研究东北农耕土壤甲的氯种态及含量
应用 X 射线吸收近边结构谱研究东北农耕土壤中的氯种态及含量
应用 X 射线吸收近边结构谱研究东北农耕土壤中的氯种态及含量 ————————————————————————————————————
应用 X 射线吸收近边结构谱研究东北农耕土壤甲的氯种态及含量 李晶,郎春燕,马玲玲,徐殿斗,郑雷,路雨楠,崔丽瑞,张晓萌(3836) 李晶,郎春燕,马玲玲,徐殿斗,郑雷,路雨楠,崔丽瑞,张晓萌(3836) 硫素对氧化还原条件下水稻土氧化铁和砷形态影响 唐冰培,杨世杰,王代长,饶伟,张亚楠,王丹,朱云集(3851) 外生菌根真菌对 Al³ 协迫和低钾土壤的响应 张薇,黄建国,袁玲,李阳波,何林卫(3862) 长期施用猪粪水稻土抗生素抗性基因污染研究 黄福义,李虎,韦蓓,欧阳纬莹,苏建强(3869) 外源添加磷和有机酸模拟铅污染土壤钝化效果及产物的稳定性研究 左继超,高婷婷,苏小娟,万田英,胡红青(3874) 污染场地六价辂的还原和微生物稳定化研究 郑家传,张建荣,刘希雯,许倩,施维林(3882) 热强化气相抽提对不同质地土壤中本去除的影响 参略,他田,张巍巍,胡思柱,王效科,田媛,冯兆忠为施、3888) 0。 浓度升高对南方城市绿化树种氮素的影响 杨田田,张巍巍,胡思柱,王效科,田媛,冯兆忠为临窥强度对不同土壤有机碳水平桉树林温室气体通量的影响 李睿达,张凯,苏丹,逯非,万五星,王效科,郑华(3903) 论Co,示踪臭氧胁迫对水稻土壤微生物的影响 李睿达,张凯,苏丹,逯非,万五星,王效科,尚鹤(3911) 表面活性剂 Burkholderia xenovorans LB400 体系对低氯代 PCBs 的好氧强化降解 陈少毅,张静,汪涵,任源(3918) 耐高氨氮异养硝化-好氧反硝化菌 TN-14 的鉴定及其脱氮性能 信欣,姚力,鲁磊,冷璐,周迎芹,郭俊元(3926) 微氧环境中电化学活性微生物的分离与鉴定 吴松,肖勇,郑志勇,郑越,杨朝晖,赵峰(3933) 电极活性菌分离过程中微生物群落结构动态特征解析 王敏,赵阳国,卢珊珊(3940) 铜对草鱼及花鲢的毒性预测;基于生物配体模型 王万京,陈莎,吴敏,赵婧(3947) 天鹅洲故道底栖动物群落特征及水质生物学评价 马秀娟,沈建忠,王腾,王海生,黄丹,孙广文,龚成(3952) 生产源区人血清中六溴环十二烷水平与甲状腺激素相关性研究 李鹏,杨从巧,金军,王英,刘伟志,丁问微(3970) 金属氧化物-Laponite 黏土复合材料负载氧化钴催化剂的制备及对苯的催化消除性能 华真,麻春艳,程杰,李进军(3977)
应用 X 射线吸收近边结构谱研究东北农耕土壤中的氯种态及含量
应用 X 射线吸收近边结构階研究东北农耕土壤中的氯种态及含量
应用 X 射线吸收近边结构情研究东北农耕土壤中的氯种态及含量     李晶,即春燕,马玲玲,徐殿斗,郑雷,路雨楠,崔丽瑞,张晓萌(3836) 植被重建下煤矿排土场土壤熟化过程中碳储量变化    李島,即春燕,马玲玲,徐殿斗,郑雷,路雨楠,崔丽瑞,张晓萌(3836) 植被重建下煤矿排土场土壤熟化过程中碳储量变化    李俊起,党廷辉,郭胜利,薛江,唐骏(3842) 硫素对氧化还原条件下水稻土氧化铁和砷形态影响    唐冰培,杨世杰,王代长,饶伟,张亚楠,王丹,朱云集(3851) 外生菌根真菌对 Al³ 胁迫和低钾土壤的响应    张薇,黄建国,袁玲,李阳波,何林卫(3862) 长期施用猪粪水稻土抗生素抗性基因污染研究    黄福义,李虎,韦蓓。欧阳纬莹,苏建强(3869) 外源添加磷和有机酸模拟铅污染土壤钝化效果及产物的稳定性研究    左继超,高骖婷,苏小娟,万田英,胡红青(3874)    郑家传,张建荣,刘希雯、许倩,施维林(3882) 热强化气相抽提对不同质地土壤中苯去除的影响    李鹏,廖晓勇,阎秀兰,崔骁勇,马林(3888)    Q,浓度升高对南方城市绿化树种氮素的影响    杨田田,张巍巍,胡思柱,王效科,田媛,马兆忠(3896) 施氮强度对不同土壤有机碳水平桉树林温室气体通量的影响    李睿达,张凯,苏丹,逯非,万五星,王效科,郑华(3903)
应用 X 射线吸收近边结构谱研究东北农耕土壤中的氯种态及含量。
应用 X 射线吸收近边结构谱研究东北农耕土壤中的氯种态及含量。
应用 X 射线吸收近边结构谱研究东北农耕土壤中的氯种态及含量。
应用 X 射线吸收近边结构情研究东北农耕土壤中的氯种态及含量     李晶,即春燕,马玲玲,徐殿斗,郑雷,路雨楠,崔丽瑞,张晓萌(3836) 植被重建下煤矿排土场土壤熟化过程中碳储量变化    李島,即春燕,马玲玲,徐殿斗,郑雷,路雨楠,崔丽瑞,张晓萌(3836) 植被重建下煤矿排土场土壤熟化过程中碳储量变化    李俊起,党廷辉,郭胜利,薛江,唐骏(3842) 硫素对氧化还原条件下水稻土氧化铁和砷形态影响    唐冰培,杨世杰,王代长,饶伟,张亚楠,王丹,朱云集(3851) 外生菌根真菌对 Al³ 胁迫和低钾土壤的响应    张薇,黄建国,袁玲,李阳波,何林卫(3862) 长期施用猪粪水稻土抗生素抗性基因污染研究    黄福义,李虎,韦蓓。欧阳纬莹,苏建强(3869) 外源添加磷和有机酸模拟铅污染土壤钝化效果及产物的稳定性研究    左继超,高骖婷,苏小娟,万田英,胡红青(3874)    郑家传,张建荣,刘希雯、许倩,施维林(3882) 热强化气相抽提对不同质地土壤中苯去除的影响    李鹏,廖晓勇,阎秀兰,崔骁勇,马林(3888)    Q,浓度升高对南方城市绿化树种氮素的影响    杨田田,张巍巍,胡思柱,王效科,田媛,马兆忠(3896) 施氮强度对不同土壤有机碳水平桉树林温室气体通量的影响    李睿达,张凯,苏丹,逯非,万五星,王效科,郑华(3903)

## CuO(-CeO<sub>2</sub>)/Al<sub>2</sub>O<sub>3</sub>催化剂对萘催化氧化性能研究

查键,周宏仓\*,何都良,单龙,张露,谢婕

(南京信息工程大学环境科学与工程学院,江苏省大气环境监测与污染控制高技术研究重点实验室,南京 210044)

摘要:采用浸渍法制备了  $CuO/Al_2O_3$ 、 $CeO_2/Al_2O_3$  和  $CuO-CeO_2/Al_2O_3$  这 3 种催化剂,通过氮吸附、SEM、XRD 等手段对催化剂的结构及组成进行了表征,利用固定床反应装置考察了活性组分、气体流量、催化反应温度对萘催化氧化性能的影响. 结果表明,18%  $CeO_2/Al_2O_3$  的萘催化活性较低,18%  $CuO/Al_2O_3$  和 9% CuO-9%  $CeO_2/Al_2O_3$  的活性较高,两者在 300% 时对萘的去除率分别达到 91% 和 89%;  $CuO-CeO_2/Al_2O_3$  催化剂具有比  $CuO/Al_2O_3$  更好的低温活性;气流量的变化对两种催化剂性能的影响不大.

关键词:萘; 催化氧化; CuO/Al<sub>2</sub>O<sub>3</sub>; CeO<sub>2</sub>; 低温活性

中图分类号: X511; X701 文献标识码: A 文章编号: 0250-3301(2014)10-3984-07 DOI: 10.13227/j. hjkx. 2014. 10.048

### Catalytic Degradation of Naphthalene by CuO(-CeO<sub>2</sub>)/Al<sub>2</sub>O<sub>3</sub>

ZHA Jian, ZHOU Hong-cang, HE Du-liang, SHAN Long, ZHANG Lu, XIE Jie

(Jiangsu Key Laboratory of Atmospheric Environment Monitoring and Pollution Control, School of Environmental Science and Engineering, Nanjing University of Information Science & Technology, Nanjing 210044, China)

**Abstract:** Three catalysts  $\text{CuO/Al}_2\text{O}_3$ ,  $\text{CeO}_2/\text{Al}_2\text{O}_3$  and  $\text{CuO-CeO}_2/\text{Al}_2\text{O}_3$  were prepared by the impregnation method. The textural and structural properties of the synthesized catalysts were characterized by  $\text{N}_2$  adsorption/desorption, SEM and XRD, and the effect of active ingredients, flow rate and reaction temperature on catalytic degradation of naphthalene (NaP) were investigated in fixed-bed reactor. The experimental results show that the prepared 18%  $\text{CeO}_2/\text{Al}_2\text{O}_3$  has a low catalytic activity of NaP. Nevertheless, both 18%  $\text{CuO/Al}_2\text{O}_3$  and 9% CuO-9%  $\text{CeO}_2/\text{Al}_2\text{O}_3$  exhibit high catalytic activity whose removal efficiencies at 300% can reach 91% and 89%, respectively. Besides, compared with  $\text{CuO/Al}_2\text{O}_3$ ,  $\text{CuO-CeO}_2/\text{Al}_2\text{O}_3$  possesses a higher low-temperature activity. Furthermore, the variation of flow rates has little effect on the performance of two catalysts.

Key words: naphthalene; catalytic degradation; CuO/Al2O3; CeO2; low-temperature activity

多环芳烃 (polycyclic aromatic hydrocarbons, PAHs)是一类广泛存在于大气环境中分子结构含有两个或两个以上苯环的碳氢化合物,具有较强的"三致"效应和生物累积效应<sup>[1~3]</sup>. 垃圾焚烧是PAHs 的一个主要排放源,因此如何控制和减少垃圾焚烧排放的PAHs 显得尤为迫切<sup>[4]</sup>. 催化氧化法是去除PAHs 的有效方法之一,与传统的吸附法相比,催化氧化法能将有害气体最终转变成无害的 $CO_2$  和  $H_2O$ ,且设备投资低,拥有更好的发展前景<sup>[5,6]</sup>.

目前,催化氧化的催化剂以贵金属和非贵金属两类的应用最为广泛,贵金属催化剂虽然具有较高的催化活性,但是由于其高昂的价格,越来越多的学者开始积极探索具有较高催化活性的非贵金属催化剂 $^{[7-9]}$ .  $Kim^{[10]}$ 将 Cu、Mn、Fe、V、Mo、Co、Ni 和 Zn 负载于  $\gamma$ - $Al_2O_3$  上,考察其对苯、甲苯和二甲苯的催化分解能力,结果发现  $Cu/\gamma$ - $Al_2O_3$  的性能最好. Tseng 等 $^{[11]}$ 将 Fe、Co、Ni、Cu 等催化剂负载于活性炭上,考察其对焚烧烟气中 PAHs 的降解性能,

降解效率分别为62%、94%、23%和55%.相比于单一组分催化剂,复合型催化剂可使催化剂活性组分有更高的分散度和更合适的粒径,进而表现出更高的催化剂活性和更好的稳定性,其中 CeO<sub>2</sub> 与过渡元素形成的复合催化剂有助于提高催化剂的储氧性能,改善催化剂的催化效率,目前备受关注<sup>[12,13]</sup>. 冯长根等<sup>[14]</sup>通过在催化剂中添加 CeO<sub>2</sub> 发现,Ce 作为助催化剂可以增强催化剂的储氧能力,促进贵金属的分散和增加载体的稳定性,进一步提高催化剂的催化氧化性能. Águila等<sup>[15]</sup>通过催化剂载体对CuO-CeO<sub>2</sub> 催化氧化 CO 的影响实验发现,载体对催化剂的活性影响很大,CuO-CeO<sub>2</sub> 催化剂的反应活性顺序依次为 CuO-CeO<sub>2</sub>/SiO<sub>2</sub> > CuO-CeO<sub>2</sub>/ZrO<sub>2</sub> >

收稿日期: 2014-03-06; 修订日期: 2014-04-29

基金项目: 江苏省高校科研成果产业化推进项目(JHB2011-14); 江 苏省"六大人才高峰"资助项目(2013-JNHB-021); 国家 自然科学基金项目(51076068); 江苏高校优势学科建设 工程资助项目; 南京信息工程大学科研预研基金项目 (2010376)

作者简介: 查键(1989~),男,硕士研究生,主要研究方向为大气污染控制技术,E-mail;894235702@qq.com

\* 通讯联系人, E-mail: zhouhongcang@163.com

 $CuO-CeO_2/Al_2O_3$ , 当不添加  $CeO_2$  时,  $CuO/ZrO_2$  的活性最高. 另外, 当前多数用于催化氧化 PAHs 的催化剂只有在  $300^{\circ}$  以上才具有较高的催化活性,故很有必要制备出在更低温度也具有很好催化效果的催化剂 $^{[16]}$ .

本研究选取 PAHs 中挥发性最强、大气中含量最高的萘为对象,通过浸渍法制备一系列不同负载率的 CuO(-CeO<sub>2</sub>)/Al<sub>2</sub>O<sub>3</sub> 催化剂,在固定床反应装置上进行萘催化氧化实验,在以萘的去除率和 CO<sub>2</sub>产率为评价指标的基础上,结合各种表征手段,考察各催化剂的性能,探索经济的催化剂的制备方法,分析各反应条件下催化剂性能的变化,以期为 PAHs 催化剂的研究及工业化应用提供参考依据.

#### 1 材料与方法

#### 1.1 材料与仪器

材料: $Al_2O_3$  为国药集团化学试剂有限公司生产,磨碎筛至 20 ~ 50 目; Ce  $(NO_3)_4 \cdot 6H_2O$  和  $Cu(NO_3)_2 \cdot 3H_2O$ 分别为国药集团化学试剂有限公司和上海新宝精细化工厂生产,均为分析纯; 萘为上海凌峰化学试剂有限公司生产,化学纯; CH<sub>2</sub>Cl<sub>2</sub>和 CH<sub>3</sub>OH 分别为 CALEDON LABORATORIES LTD 和 TEDIA 生产,均为色谱纯.

仪器:美国 Agilent 1100 型高效液相色谱;美国康塔 Autosorb-iQ-AG-MP 型全自动气体吸附分析仪;日本日立 SU1510 型扫描电子显微镜;日本岛津 XRD-6100 型 X 射线衍射仪;上海上平 FA2004电子天平;上海苏星 101-2A 型电热恒温鼓风干燥箱;英国 BACHARACH CO<sub>2</sub> Analyzer 2820 分析仪.

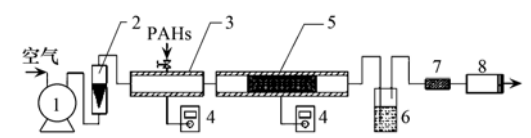
#### 1.2 催化剂制备

采用浸渍法制备催化剂. 将一定量的  $Al_2O_3$  载体(20~50 目)加入到一定浓度的  $Cu(NO_3)_2$  溶液 [或  $Ce(NO_3)_4$  溶液]中,室温下浸渍 2 h 后在  $110^{\circ}$  条件下干燥 12 h,然后于空气气氛、500°C 煅烧 3 h 后即得  $CuO/Al_2O_3$  (或  $CeO_2/Al_2O_3$ ) 催化剂.  $CuO-CeO_2/Al_2O_3$  催化剂的制备采用分步浸渍法,首先将一定量的  $Al_2O_3$  载体(20~50 目)加入到一定浓度的  $Ce(NO_3)_4$  溶液中,室温下浸渍 2 h 后在  $110^{\circ}$  条件下干燥 12 h,然后于空气气氛、500°C 煅烧 3 h,得到  $CeO_2/Al_2O_3$  复合载体;再将  $CeO_2/Al_2O_3$  复合载体于一定浓度的  $Cu(NO_3)_2$  溶液中室温下浸渍 2 h,再于  $110^{\circ}$  条件下干燥 12 h,最后于空气气氛、500°C 煅烧 3 h,制得  $CuO-CeO_2/Al_2O_3$  催化剂. 为方便起见,将样品以  $aCuO/Al_2O_3$ 、 $bCeO_2/Al_2O_3$  和

 $a\text{CuO}-b\text{CeO}_2/\text{Al}_2\text{O}_3$  表示, a、b 分别代表 CuO 和 CeO, 的负载率(质量分数).

#### 1.3 实验装置

催化反应实验装置如图 1 所示,主要由配气系统、萘蒸气发生系统、固定床反应系统、控温系统和采样系统组成.配气系统由空气泵鼓入空气,通过流量计控制流量;萘蒸气发生系统由石英管、加料斗、电加热带及配件组成;固定床反应系统由内径 6 mm 的不锈钢管、电加热带及配件组成;控温系统由调压器、热电偶及数显温度计组成;采样系统由装有二氯甲烷吸收液的 U 型多孔玻板吸收管、干燥管、过滤器及 CO<sub>2</sub> 分析仪组成.



- 1. 空气泵; 2. 流量计; 3. 萘蒸气发生器; 4. 加热控温装置;
- 5. 固定床反应器; 6. 气体吸收装置; 7. 干燥及过滤装置;

Fig. 1 Fixed bed catalytic oxidation reactor device

#### 1.4 实验方法

实验时,将 1.5 g 制备好的催化剂装入反应器,两端用石英棉固定,开启加热控温装置使萘蒸气发生器和固定床反应器达到各工况所要求的温度,然后打开空气泵通入空气,调节至所需流量,空烧反应器 15 min 使催化剂处于活化状态,接着关闭空气泵,将 0.1 g 萘加入到萘蒸气发生器内,使其逐渐挥发(约 25 min),然后再次通气,同时打开 CO<sub>2</sub> 分析仪,实验开始. 待分析仪读数为零时,实验结束.

吸收液中采集到的萘含量通过 Agilent-1100 型高效液相色谱仪的紫外检测器进行测定,色谱柱为  $C_{18}$ 柱,4.60 mm×250 mm,填料粒径为 5.0 μm 的反相色谱柱,其色谱条件为:流动相 80%  $CH_3$ OH、20%  $H_2$ O,流速 1 mL·min  $^{-1}$ ,紫外检测器波长 254 nm,柱温 27℃.

文中主要采用去除率和 CO<sub>2</sub> 产率两个指标对催化剂的性能进行评价,其中去除率是指萘蒸气经过催化反应实验装置后的净化效率,CO<sub>2</sub> 产率则是指萘蒸气经过催化反应实验装置后转化成 CO<sub>2</sub> 的百分率,对应的计算公式如下:

$$\eta = \frac{m_0 - m}{m_0} \times 100\%$$

$$y = \frac{M \times n_c}{10 \times m_0} \times 100\%$$

式中, $\eta$  为萘去除率,%;  $m_0$ 、m 分别为进口及出口 萘质量,g; y 为  $CO_2$  产率,%; M 为萘的摩尔质量, 128  $g \cdot mol^{-1}$ ;  $n_c$  为  $CO_2$  的实际生成量, mol.

为了减少实验误差,确保数据的准确性,各实验均进行了平行实验,取平均值;在固定床催化氧化实验进行前,均进行了空白实验,文中所列值均已经过空白修正.

#### 2 结果与讨论

#### 2.1 催化剂的结构表征

#### 2.1.1 催化剂的 N, 吸附/脱附分析

图 2 为 3 种不同催化剂和空白  $Al_2O_3$  的  $N_2$  吸附/脱附等温线. 从等温线形状来看,基本上都属于  $BDDT^{[17]}$ 分类中的第 II 类和第 IV 类混合型等温线. 在低分压区,吸附曲线迅速上升,发生微孔填充,不过这一段分压极低,说明催化剂含微孔较少;在中高分压区,曲线缓慢上升,发生毛细凝聚,且各曲线均出现滞后环,说明这 4 种材料均有较宽的孔隙分布;在高分压区,吸附质在催化剂的中大孔中继续进行吸附,且吸附质分子之间也相互作用,形成多分子层吸附,吸附曲线进一步上升. 对比催化剂与空白  $Al_2O_3$  的滞后环可以发现,在  $P/P_0$  为  $0.5 \sim 0.7$  左右,催化剂的滞后环明显要窄,滞后环越窄,意味着与此对应的孔含量越少[18],说明负载 CuO、 $CeO_2$ 后对  $Al_2O_3$  表面的孔隙结构产生了一定影响,部分孔隙被封闭.

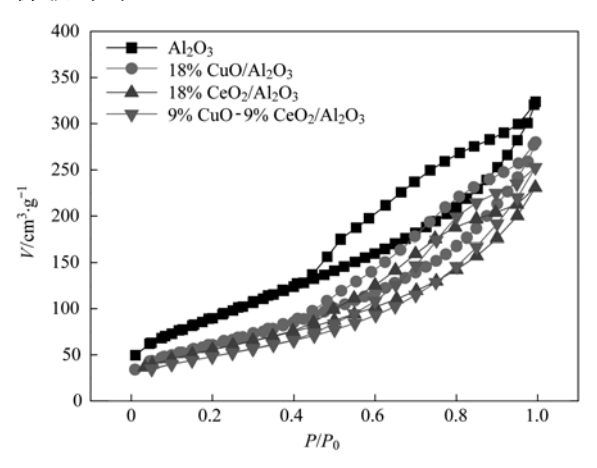


图 2 催化剂的吸附/脱附等温线

Fig. 2 N<sub>2</sub> adsorption/desorption isotherms of catalysts

对比 3 种不同催化剂和空白 Al<sub>2</sub>O<sub>3</sub> 的孔径分布 图(见图 3)可以看出,各催化剂的孔径主要以 3 ~ 30 nm 的中孔为主,其所占比例均达到 90% 以上;在孔径 4 nm 左右,均出现一高峰,当负载活性组分后,峰高逐渐降低,说明 CuO、CeO<sub>2</sub> 的引入堵塞了

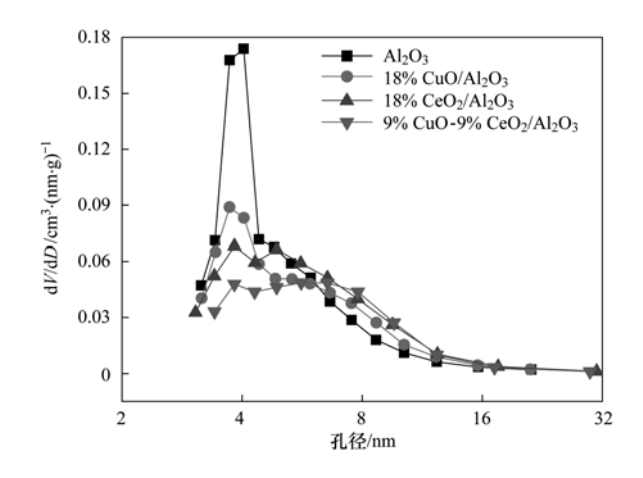


图 3 催化剂的孔径分布示意

Fig. 3 Pore size distribution of catalysts

 $Al_2O_3$  中的部分孔洞,导致 4 nm 左右的孔减少;当在  $Al_2O_3$  上负载  $CeO_2$  时,在孔径 4~8 nm 间出现了另一小峰,而当只负载 CuO 时,并未出现这一峰,这可能是负载的  $CeO_2$  与 CuO 或是  $Al_2O_3$  载体相互作用,形成新的孔隙结构. 各催化剂和空白  $Al_2O_3$  的结构表征参数如表 1 所示. 从中可以看出,空白  $Al_2O_3$  的比表面积最大,为 314.292 m²·g⁻¹,负载有活性组分后,催化剂的比表面积有所下降. 其原因可能是因为活性组分会进入  $Al_2O_3$  载体的表面或孔道内,致使部分孔道堵塞,造成比表面积下降[19].

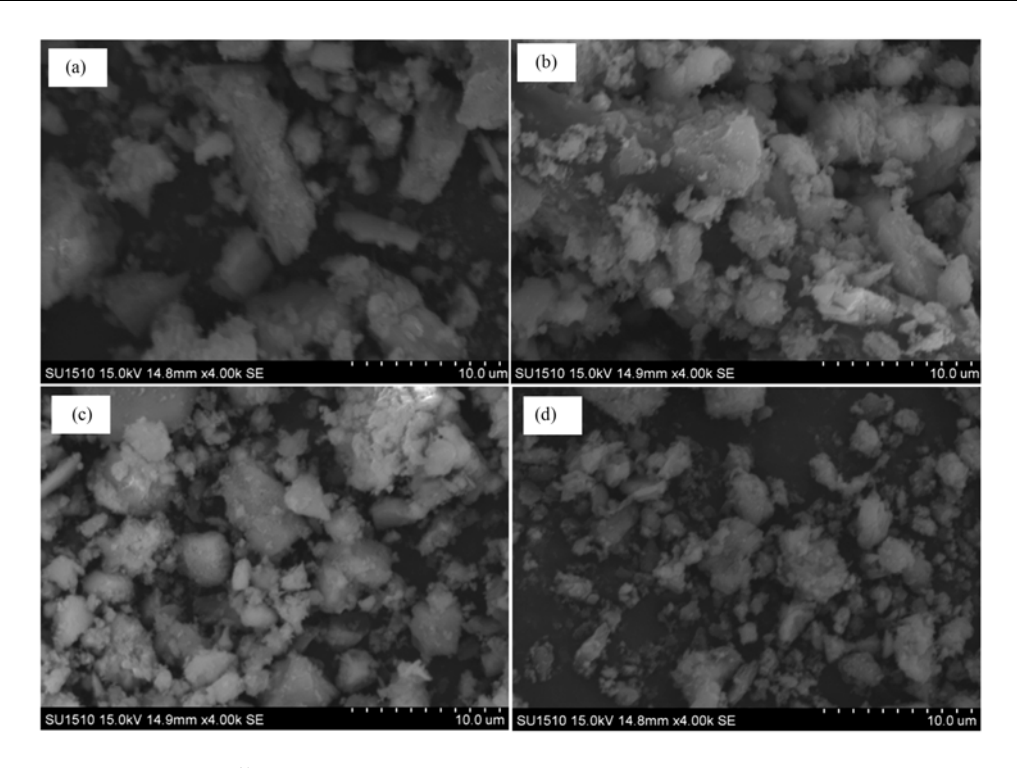
表 1 催化剂的结构表征参数

Table 1 Textural parameters of catalysts

催化剂	比表面积 /m²·g <sup>-1</sup>	总孔容积 /cm³·g <sup>-1</sup>	平均孔径 /nm
空白 Al <sub>2</sub> O <sub>3</sub>	314. 292	0. 501	4. 040
18% CuO/Al <sub>2</sub> O <sub>3</sub>	257. 071	0. 433	3. 724
$18\%~\mathrm{CeO_2/Al_2O_3}$	258. 464	0. 358	3.815
$9\%~\mathrm{CuO}\text{-}9\%~\mathrm{CeO}_2/\mathrm{Al}_2\mathrm{O}_3$	217. 551	0. 391	5. 625

#### 2.1.2 催化剂的 SEM 分析

3 种催化剂和空白 Al<sub>2</sub>O<sub>3</sub> 的扫描电镜分析如图 4 所示,从中可见,空白 Al<sub>2</sub>O<sub>3</sub> 载体表面较为细致光滑,当只负载有 CuO 或 CeO<sub>2</sub> 活性组分后,催化剂表面变得粗糙不平,存在大量的晶粒,而同时负载两种组分后,这种现象大大减弱,催化剂表面又变得比较光滑. 催化剂表面活性组分的晶粒大小与活性组分的分散度密切相关,晶粒越大,分散度越小,晶粒越小,则分散度越大<sup>[20]</sup>. 可见, Al<sub>2</sub>O<sub>3</sub> 载体表面负载CuO 或 CeO<sub>2</sub> 时,较易发生团聚现象,形成较大晶粒,而两种组分混合后可以极大地减缓这种作用,促进其在载体表面的分散,而各组分的混合与分布,对催化剂的活性影响很大<sup>[21,22]</sup>.



(a) 空白 Al, O<sub>3</sub> 载体; (b) 18% CuO/Al, O<sub>3</sub>; (c) 18% CeO<sub>2</sub>/Al, O<sub>3</sub>; (d) 9% CuO-9% CeO<sub>2</sub>/Al, O<sub>3</sub>

#### 图 4 催化剂的 SEM 照片

Fig. 4 SEM photos of catalysts

#### 2.1.3 催化剂的 XRD 分析

为了进一步观察 CuO、 $CeO_2$  的负载对催化剂 表面结构的影响以及活性组分在载体表面的分布情况,对样品进行了 XRD 分析,结果如图 5 所示. 从中可以看出,各催化剂样品都有  $2\theta$  在  $67^\circ$  附近的  $Al_2O_3$  特征衍射峰,这表明各催化剂均较好地保持了  $Al_2O_3$  原有的骨架结构,CuO 和  $CeO_2$  这两种组分改性并未明显改变载体的晶体结构特征;当负载有  $CeO_2$  时, $Al_2O_3$  的特征峰强度稍有减弱,这是因为  $Al_2O_3$  负载  $CeO_2$  后减弱了  $Al_2O_3$  衍射峰的相对强度,这与崔星等的实验结果相一致[23]; 对比 18%

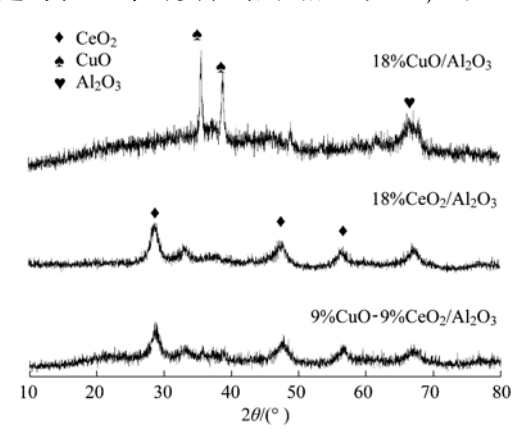


图 5 催化剂的 XRD 图

Fig. 5 XRD patterns of catalysts

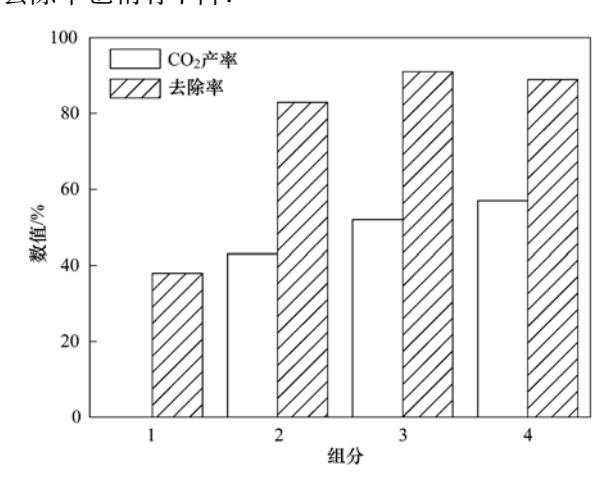
 $CeO_2/Al_2O_3$  和 9% CuO-9%  $CeO_2/Al_2O_3$  的谱图可以发现,后者几乎检测不到  $2\theta$  在 36°左右的 CuO 晶相峰,CuO 活性组分高度分散在载体表面,这说明  $CeO_2$  的添加可以促进 CuO 的分散. 而较高的 CuO 分散度可以增加催化剂活性位点的数目,有利于提高催化剂活性 $[^{24},^{25}]$ .

#### 2.2 萘催化氧化实验

#### 2.2.1 活性组分对催化剂性能的影响

当气体流量为 200 mL·min⁻¹, 反应温度为 300℃时,考察活性组分对催化剂性能的影响,对应的 CO₂ 产率及去除率见图 6. 从中可见,Al₂O₃ 依靠单纯的物理吸附作用只表现出了很低的去除效率 (38%);而负载活性组分后,其催化活性大大提高, 18% CeO₂/Al₂O₃、18% CuO/Al₂O₃ 和 9% CuO-9% CeO₂/Al₂O₃ 的 CO₂ 产率分别达到了 43%、52% 和 57%,从而带动了去除率也获得了较大的提升. 气固相催化反应的起始步骤也是关键步骤即反应组分在催化剂表面及孔道内的吸附,催化剂优良的孔隙结构可以提高对反应组分的吸附能力,从而带动催化性能的提升<sup>[26]</sup>. 研究表明,催化剂孔径大小必须是反应物分子动力学直径的 2~3 倍才能保证其顺利进入催化剂的孔道内并通过扩散作用进入活性位点,进而被催化,由表 1 可见,3 种催化剂的平均孔

径均在 3.7 ~ 5.7nm 之间,远大于萘分子的 0.7nm 左右的直径,这保证了其对萘分子的吸附以及催化 反应的进行<sup>[27,28]</sup>. 对比三者的 CO<sub>2</sub> 产率,虽然 3 种催化剂的活性组分负载量相同,但 18% CeO<sub>2</sub>/Al<sub>2</sub>O<sub>3</sub> 的催化活性最低,这可能是因为 CeO<sub>2</sub> 本身的催化能力较弱所致; 9% CuO-9% CeO<sub>2</sub>/Al<sub>2</sub>O<sub>3</sub> 具有比单组分催化剂更高的活性,这主要是由于该催化剂具有更高的活性组分分散度,相应地活性位点数量就更多,反应组分进入活性位点的可能性就越高,催化能力就越强. 然而,9% CuO-9% CeO<sub>2</sub>/Al<sub>2</sub>O<sub>3</sub> 虽然 CO<sub>2</sub> 产率较 18% CuO/Al<sub>2</sub>O<sub>3</sub> 更优,但是去除率却略有下降,因为金属氧化物催化剂的比表面积也是决定其催化活性的一个非常重要的因素<sup>[29]</sup>,9% CuO-9% CeO<sub>2</sub>/Al<sub>2</sub>O<sub>3</sub> 较 18% CuO/Al<sub>2</sub>O<sub>3</sub> 小,所以导致其去除率也稍有下降.



- 1. Al<sub>2</sub>O<sub>3</sub>; 2. 18% CeO<sub>2</sub>/Al<sub>2</sub>O<sub>3</sub>;
- 3.  $18\% \, \text{CuO/Al}_2\,\text{O}_3$ ; 4.  $9\% \, \text{CuO-}9\% \, \text{CeO}_2/\text{Al}_2\,\text{O}_3$

#### 图 6 不同活性组分催化剂对萘的 CO, 产率及去除率

Fig. 6  ${\rm CO_2}$  yield and removal efficiency of NaP by various active ingredients catalysts

# **2.2.2** 催化反应温度对 18% CuO/Al<sub>2</sub>O<sub>3</sub> 和 9% CuO-9% CeO<sub>2</sub>/Al<sub>2</sub>O<sub>3</sub> 性能的影响

为了进一步考察催化反应温度对 18% CuO/Al<sub>2</sub>O<sub>3</sub> 和 9% CuO-9% CeO<sub>2</sub>/Al<sub>2</sub>O<sub>3</sub> 催化性能的影响,在气体流量为 200 mL·min<sup>-1</sup>,催化反应温度为 250~350℃范围内进行萘的催化氧化实验,对应的 CO<sub>2</sub>产率及去除率分别见图 7、图 8. 从中可见,催化反应温度对催化剂的性能影响很大,它主要从物理吸附以及催化剂的活性两个方面影响整个反应过程<sup>[30]</sup>. 温度较低时,萘主要通过吸附作用停留在催化剂的表面及孔道中,当温度达到 300℃时 18% CuO/Al<sub>2</sub>O<sub>3</sub> 开始表现出了较高的萘催化活性,而

9% CuO-9% CeO<sub>2</sub>/Al<sub>2</sub>O<sub>3</sub> 在 275℃即具有良好的催化活性;同时,反应温度超过 300℃后,18% CuO/Al<sub>2</sub>O<sub>3</sub> 的催化活性提升不大,而 9% CuO-9% CeO<sub>2</sub>/Al<sub>2</sub>O<sub>3</sub> 仍拥有较大的提升幅度。因为活性组分的分散度越高,活性组分的颗粒越小,有利于提高反应热传递和内扩散的效果,降低催化反应的温度,提高催化剂的性能 $^{[31,32]}$ ,所以 9% CuO-9% CeO<sub>2</sub>/Al<sub>2</sub>O<sub>3</sub> 具有更好的低温催化活性以及更宽的反应温度区间。

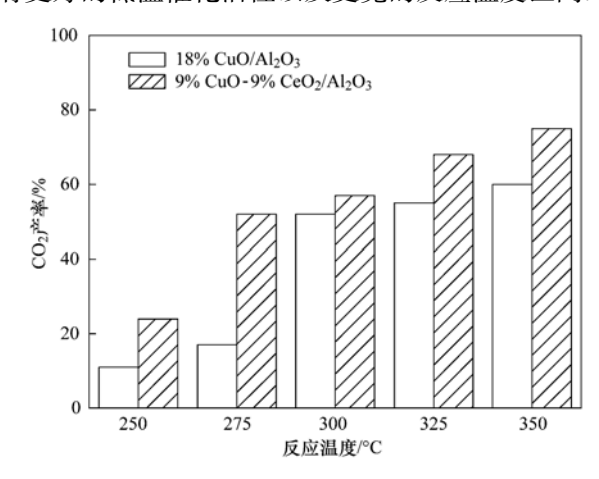


图 7 不同催化反应温度下萘的 CO, 产率

Fig. 7 CO<sub>2</sub> yield of NaP under various reaction temperatures

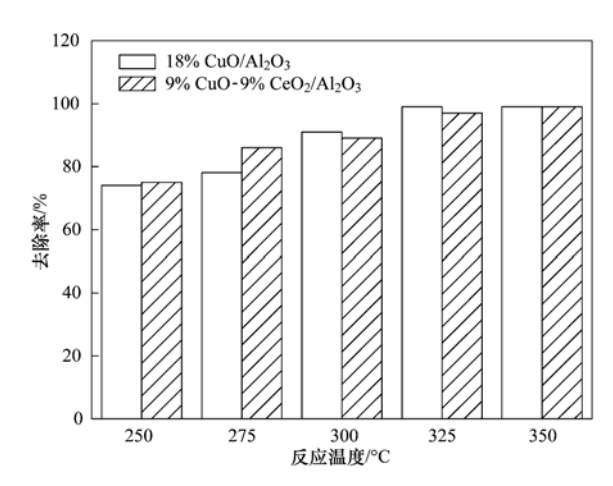


图 8 不同催化反应温度下萘的去除率

Fig. 8 Removal efficiency of NaP under various reaction temperatures

# **2.2.3** 气体流量对 CuO/Al<sub>2</sub>O<sub>3</sub> 和 CuO-CeO<sub>2</sub>/Al<sub>2</sub>O<sub>3</sub> 性能的影响

当反应温度为300℃,催化剂为18%CuO/Al<sub>2</sub>O<sub>3</sub>和9%CuO-9%CeO<sub>2</sub>/Al<sub>2</sub>O<sub>3</sub>时,考察气体流量对两类催化剂萘催化性能的影响,对应的CO<sub>2</sub>产率及去除率分别见图9、图10.从中可以看出,萘在两种催化剂上的CO<sub>2</sub>产率随着气体流量的增加整体呈现递增的趋势,当流量增加到400 mL·min<sup>-1</sup>时两种催化剂对萘的CO<sub>3</sub>产率均达到60%以上;与之相反,

去除率则均随着气体流量的增加逐渐降低,气体流 量由 150 mL·min -1 增至 400 mL·min -1, 两者的去除 率分别由 95%、96%降至 90%、86%. 其原因是: 一方面,气流量的增大会带来更多的 0,量,促进催 化反应的进行,加快反应速率,还有利于反应气体在 催化剂表面的传质以及反应产物的脱附,使 CO。产 率得到一定的提升;另一方面,随着气流量的增大, 气体在固定床内的停留时间缩短,导致反应物与催 化剂的接触时间相对减少,一部分反应物尚未来得 及吸附在催化剂上进行反应即被气流带走,使得去 除率降低[33,34]. 对比两种催化剂在相同气体流量 下的 CO, 产率及去除率可以发现, 9% CuO-9% CeO<sub>2</sub>/Al<sub>2</sub>O<sub>3</sub> 不仅在各流量下的 CO<sub>2</sub> 产率都高于 18% CuO/Al,O,,虽然去除率略低,但是也都保持在 85%以上的较高水平,可见,9% CuO-9% CeO<sub>2</sub>/ Al,O, 在不同气流量下的总体催化性能要强于 18% CuO/Al<sub>2</sub>O<sub>3</sub>.

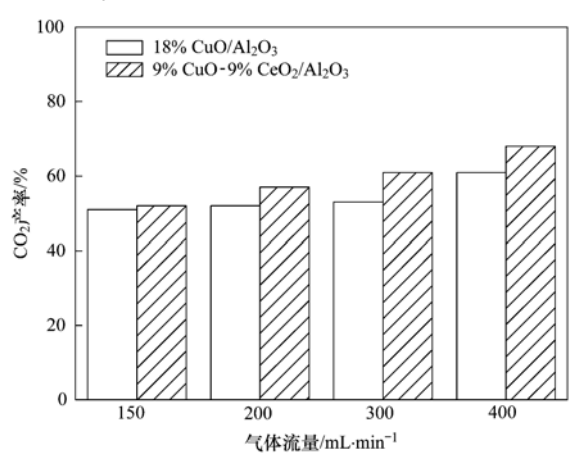


图 9 不同气体流量下萘的  $CO_2$  产率

Fig. 9  $CO_2$  yield of NaP under various flow rates

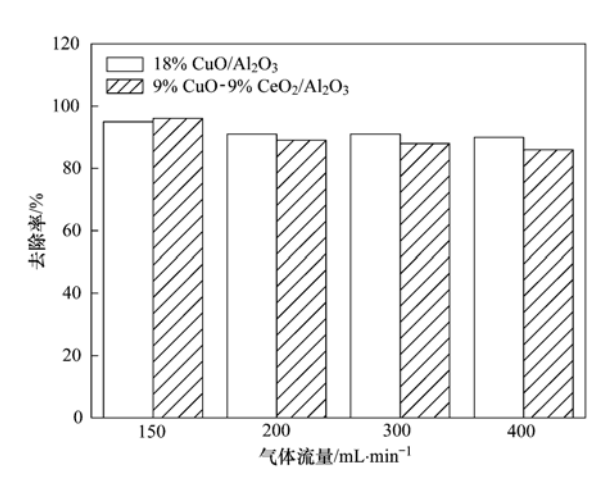


图 10 不同气体流量下萘的去除率

Fig. 10 Removal efficiency of NaP under various flow rates

#### 3 结论

- (1)负载 CuO、 $CeO_2$  活性组分会堵塞  $Al_2O_3$  中 4 nm 左右孔径的部分孔洞,对  $Al_2O_3$  的孔隙结构产生一定影响,  $CeO_2$  的加入能促进 CuO 在载体表面的分散.
- $(2)18\% \, \text{CeO}_2/\text{Al}_2\text{O}_3$  对萘的催化活性较低,而  $18\% \, \text{CuO/Al}_2\text{O}_3$  和  $9\% \, \text{CuO-}9\% \, \text{CeO}_2/\text{Al}_2\text{O}_3$  则具有较高的性能,两者在  $300\% \, \text{时萘的去除率分别可达 }91\% \, \text{和 }89\%$ .
- (3)9% CuO-9% CeO<sub>2</sub>/Al<sub>2</sub>O<sub>3</sub> 具有比 18% CuO/Al<sub>2</sub>O<sub>3</sub> 更优的低温活性,而且随着反应温度的升高前者的催化活性提升更为明显,较后者具有更优的催化活性.
- (4)在低气量和高气量下两种催化剂均具有较高的萘催化能力,萘的  $CO_2$  产率及去除率并没有随着流量的变化产生较大波动,9% CuO-9%  $CeO_2$ /  $Al_2O_3$  在不同气流量下的催化性能要略强于 18% CuO/ $Al_2O_3$ .

#### 参考文献:

- [1] 周宏仓, 蔡华侠, 薛鸿斌, 等. 萘在炭质吸附剂上的静态吸附机理[J]. 环境科学研究, 2010, **23**(5): 658-662.
- [2] 周宏仓, 薛鸿斌, 张翠翠, 等. 低环多环芳烃(萘、苊)在活性炭上的热脱附行为[J]. 中国环境科学, 2011, **31**(9): 1497-1502.
- [3] Lin C L, Cheng Y H, Liu Z S, et al. Metal catalysts supported on activated carbon fibers for removal of polycyclic aromatic hydrocarbons from incineration flue gas[J]. Journal of Hazardous Materials, 2011, 197: 254-263.
- [4] 孙少艾,李洋,周轶,等. 基于被动采样技术的垃圾焚烧厂及周边大气中 PAHs 分布研究[J]. 环境科学,2012,33 (11):4018-4024.
- [5] 徐丽, 王静, 吴军良, 等. CuO(-CeO<sub>2</sub>)/SBA-15 对萘氧化的 催化活性及 CO<sub>2</sub> 选择性研究[J]. 环境工程学报, 2010, **4** (2): 387-392.
- [6] Lu H F, Zhou Y, Huang H F, et al. In-situ synthesis of monolithic Cu-Mn-Ce/cordierite catalysts towards VOCs combustion[J]. Journal of Rare Earths, 2011, 29 (9): 855-860.
- [7] Gélin P, Primet M. Complete oxidation of methane at low temperature over noble metal based catalysts; a review [J]. Applied Catalysis B; Environmental, 2002, 39(1): 1-37.
- [8] Morales M R, Barbero B P, Cadús L E. Combustion of volatile organic compounds on manganese iron or nickel mixed oxide catalysts[J]. Applied Catalysis B: Environmental, 2007, 74(1-2): 1-10.
- [9] Wang C H, Lin S S, Chen C L, et al. Performance of the supported copper oxide catalysts for the catalytic incineration of

- aromatic hydrocarbons [J]. Chemosphere, 2006, 64(3): 503-509.
- [10] Kim S C. The catalytic oxidation of aromatic hydrocarbons over supported metal oxide [J]. Journal of Hazardous Materials, 2002, 91(1-3): 285-299.

3990

- [11] Tseng H H, Lu C Y, Chang F Y, et al. Catalytic removal of NO and PAHs over AC-supported catalysts from incineration flue gas: Bench-scale and pilot-plant tests [J]. Chemical Engineering Journal, 2011, 169(1-3): 135-143.
- [12] 张广宏,赵福真,季生福,等. 挥发性有机物催化燃烧消除的研究进展[J]. 化工进展, 2007, **26**(5): 624-631.
- [13] Alexopoulos K, Anilkumar M, Reyniers M F. Time-resolved operando X-ray absorption study of CuO-CeO<sub>2</sub>/Al<sub>2</sub>O<sub>3</sub> catalyst during total oxidation of propane [J]. Applied Catalysis B: Environmental, 2010, 97(3-4): 381-388.
- [14] 冯长根, 樊国栋, 刘霞, 等. 三效催化剂中促进剂氧化铈的作用研究进展研究[J]. 化工进展, 2005, **24**(3): 227-230.
- [15] Águila G, Gracia F, Araya P. CuO and CeO<sub>2</sub> catalysts supported on Al<sub>2</sub>O<sub>3</sub>, ZrO<sub>2</sub> and SiO<sub>2</sub> in the oxidation of CO at low temperature[J]. Applied Catalysis A: General, 2008, 343 (1-2): 16-24.
- [16] Park J I, Lee J K, Miyawaki J, et al. Catalytic oxidation of polycyclic aromatic hydrocarbons (PAHs) over SBA- 15 supported metal catalysts [J]. Journal of Industrial and Engineering Chemistry, 2011, 17(2): 271-276.
- [17] Brunaer S, Deming L S, Deming W E, et al. On a theory of the van der Waals adsorption of gases [J]. Journal of the American Chemical Society, 1940, 62(7); 1723-1732.
- [18] Gray M L, Champagne K J, Fauth D J, et al. Performance of immobilized tertiary amine solid sorbents for the capture of carbon dioxide[J]. International Journal of Greenhouse Gas Control, 2008, 2(2): 3-8.
- [19] 郭静, 李彩亭, 路培, 等. CeO<sub>2</sub> 改性 MnO<sub>x</sub>/Al<sub>2</sub>O<sub>3</sub> 的低温 SCR 法脱硝性能及机制研究[J]. 环境科学, 2011, **32**(8): 2240-2246.
- [20] 杨春雁,杨卫亚,凌凤香,等.负载型金属催化剂表面金属分散度的测定[J].化工进展,2010,29(8):1468-1473,1501.
- [21] Kim H S, Kim T W, Koh H, et al. Complete benzene oxidation over Pt-Pd bimetal catalyst supported on γ-alumina: Influence of Pt-Pd ratio on the catalytic activity [J]. Applied Catalysis A: General, 2005, 280(2): 125-131.

[22] 黎维彬, 龚浩. 催化燃烧去除 VOCs 污染物的最新进展[J]. 物理化学学报, 2010, **26**(4); 885-894.

学

- [23] 崔星,石建稳,何炽,等. Pd/CeO<sub>2</sub>-Al<sub>2</sub>O<sub>3</sub> 对烟气中多环芳 烃的催化氧化性能研究[J]. 环境科学学报,2012,**32**(11): 2712-2717.
- [24] Delimaris D, Ioannides T. VOC oxidation over CuO-CeO<sub>2</sub> catalysts prepared by a combustion method[J]. Applied Catalysis B: Environmental, 2009, **89**(1-2): 295-302.
- [25] 左宜赞, 张强, 安欣, 等. 浆态床中  $Cu/ZnO/Al_2O_3/ZrO_2 + \gamma-Al_2O_3$  双功能催化剂一步法合成二甲醚[J]. 燃料化学学报, 2010, **38**(1): 102-107.
- [26] Varela-Gandía F J, Berenguer-Murcia á, Lozano-Castelló D, et al. Total oxidation of naphthalene using palladium nanoparticles supported on BETA, ZSM-5, SAPO-5 and alumina powders[J]. Applied Catalysis B; Environmental, 2013, 129; 98-105.
- [27] Araújo R S, Azevedo D C S, Cavalcante Jr C L, et al. Adsorption of polycyclic aromatic hydrocarbons (PAHs) from isooctane solutions by mesoporous molecular sieves: Influence of the surface acidity[J]. Microporous and Mesoporous Materials, 2008, 108(1-3): 213-222.
- [28] Liu Z S, Wey M Y, Lin C L. Simultaneous control of acid gases and PAHs using a spray dryer combined with a fabric filter using different additives[J]. Journal of Hazardous Materials, 2002, 91 (1-3): 129-141.
- [29] Hironobu S, Hajime K, Hisahiro E, et al. Effect of surface area of La-K-Mn-O perovskite catalysts on diesel particulate oxidation [J]. Catalysis Today, 2008, 139(1-2): 8-14.
- [30] 杨超, 张俊丰, 童志权, 等. 活性炭低温催化还原  $NO_*$  影响 因素及反应机理分析[J]. 环境科学研究, 2006, 19(4): 86-90.
- [31] 梁顺琴, 龚光碧, 吴杰, 等. 高分散  $Ni/Al_2O_3$  催化剂的制备 及其裂解汽油一段加氢性能 [J]. 化工进展, 2010, **29**(9): 1649-1653.
- [32] 常剑,高金森,徐春明. 大颗粒 FCC 汽油芳构化催化剂烧碳再生动力学研究[J]. 燃料化学学报,2007,35(6):673-677.
- [33] Horie T, Aida T. Effect of flow rate on temperature in a Bi-P-O catalyst bed; Global enhancement by forced flow rate cycling [J]. Chemical Engineering Science, 2008, 63 (20): 4981-4990.
- [34] 赵春禄,吕承凯,楚晓俊,等. 负载化纳米 TiO<sub>2</sub> 光催化降解 气相甲苯[J]. 环境科学与技术,2009,32(3):42-45.

## **HUANJING KEXUE**

Environmental Science (monthly)

Vol. 35 No. 10 Oct. 15, 2014

### **CONTENTS**

CONTENTS	
Development of a Two Stage Virtual Impactor for Stationary Source PM <sub>10</sub> and PM <sub>2.5</sub> Sampling	
Characteristics and the Impact Factors of Acid Rain in Fuzhou and Xiamen 1992-2012	···· ZHENG Qiu-ping, WANG Hong, CHEN Bin-bin, et al. (3644
Concentration Distribution of Metal Elements in Atmospheric Aerosol Under Different Weather Conditions in Qingdao Coastal Region	n ······ CHEN Xiao-jing, QI Jian-hua, LIU Ning, et al. (3651
Emission Characteristics and Hazard Assessment Analysis of Volatile Organic Compounds from Chemical Synthesis Pharmaceutical I	Industry ·····
	LI Yan, WANG Zhe-ming, SONG Shuang, et al. (3663
NO <sub>x</sub> and SO <sub>2</sub> Formation in the Sintering Process and Influence of Sintering Material Composition on NO <sub>x</sub> Emissions	
Application of Activated Carbon from Waste Tea in Desulfurization and Denitrification	SONG Lei, ZHANG Bin, DENG Wen ( 3674
Effect of Soil Texture in Unsaturated Zone on Soil Nitrate Accumulation and Groundwater Nitrate Contamination in a Marginal Oasis	s in the Middle of Heihe River Basin ·····
	SU Yong-zhong, YANG Xiao, YANG Rong ( 3683
Health Assessment of River Ecosystem in Haihe River Basin, China	HAO Li-xia, SUN Ran-hao, CHEN Li-ding ( 3692
Analysis on the Variation Characteristics of Iron and Manganese Concentration and Its Genesis in Changtan Reservoir in Taizhou, Z	Chejiang Province ·····
,	LIU Shu-yuan, ZHENG Chen, YUAN Qi, et al. (3702
Spatiotemporal Characteristics of Nitrogen and Phosphorus in a Mountainous Urban Lake	
Formation of Geochemistry in Underground River Under Rainfall Conditions: An Example for Underground River at Xueyu Cave, C	Chongqing ·····
	WANG Feng-kang, LIANG Zuo-bing, YU Zheng-liang, et al. (3716)
Contamination and Ecological Risk Assessment of Polycyclic Aromatic Hydrocarbons in Water and in Karst Underground River Cate	hment ·····
	LAN Jia-cheng, SUN Yu-chuan, TIAN Ping, et al. (3722
Pollution Characteristics and Ecological Risk of Polybrominated Diphenyl Ethers (PBDEs) in River Sediments from an Electrical E	guipment Dismantling Area
	··· CHEN Xuan-vu XUE Nan-dong ZHANG Shi-lei <i>et al.</i> (3731
Ecological Risk Assessment of Heavy Metals in Surface Sediments in the Southern and Central Haihe River Basin	
Distribution Characteristics of COD and DO and Its Influencing Factors in the Daliaohe Estuary	
Seasonal Variation in the Absorption and Fluorescence Characteristics of CDOM in Downstream of Liaohe River	
Nitrogen Uptake and Denitrification Study on the Joint Treatment of Aquatic Vegetation and Immobilized Nitrogen Cycling Bacteria	
Mudgen optake and Demanication Study on the John Treatment of Aquatic vegetation and miniophized Mudgen dyering bacteria	III Dan dan II 7hang kui VE 7hang yiang at al. (3764
Actinobacteria and Their Odor-producing Capacities in a Surface Water in Shanghai	CHEN Lies RAI Vise by: 111 Ning et al. (3760
Laboratory Evaluation of Remediation of Nitrobenzene Contaminated Aquifer by Using Groundwater Circulation Well	
Sorption Characteristics of Tea Waste Modified by Hydrated Ferric Oxide Toward Pb( II ) in Water	
Effects of UV Radiation on the Aggregation Performance of Small Molecular Organic Acids	
UV Photolysis of Propranolol in Aqueous Solution: Mechanism and Toxicity of Photoproducts	
Photo-catalytical Degradation of Diphenylarsinic Acid by TiO <sub>2</sub> (P25)	
Effect of Carbon/Nitrogen Ratio on Short-Cut Nitrification and Denitrification of Polyurethane Biofilm Reactor	
Distribution and Removal of Anaerobic Antibiotic Resistant Bacteria During Mesophilic Anaerobic Digestion of Sewage Sludge	
Spatial Distribution and Risk Assessment of Insecticides in Surface Soil from a Rapidly Urbanizing Region	
Field Measurement of Soil Mercury Emission in a Masson Pine Forest in Tieshanping, Chongqing in Southwestern China	
Chlorine Speciation and Concentration in Cultivated Soil in the Northeastern China Studied by X-Ray Absorption Near Edge Structu	
Soil Organic Carbon Storage Changes with Land Reclamation Under Vegetation Reconstruction on Opencast Coal Mine Dump	
Effect of Sulfur on the Species of Fe and As Under Redox Condition in Paddy Soil	· TANG Bing-pei, YANG Shi-jie, WANG Dai-zhang, et al. (3851
Response of Ectomycorrhizal Fungi to Aluminum Stress and Low Potassium Soil	······ ZHANG Wei, HUANG Jian-guo, YUAN Ling, et al. (3862
Long-Term Manure Application Induced Shift of Diversity and Abundance of Antibiotic Resistance Genes in Paddy Soil	HUANG Fu-yi, LI Hu, WEI Bei, et al. (3869
Effect of Phosphate and Organic Acid Addition on Passivation of Simulated Pb Contaminated Soil and the Stability of the Product	
Bioremediation of Chromium (VI) Contaminated Site by Reduction and Microbial Stabilization of Chromium	··· ZHENG Jia-chuan ZHANG Jian-rong LIU Xi-wen et al. (3882
Effect of Thermal Enhanced Soil Vapor Extraction on Benzene Removal in Different Soil Textures	
Effects of Elevated O <sub>3</sub> Concentration on Nitrogen in Greening Tree Species in Southern China	• •
Effects of Nitrogen Application on Soil Greenhouse Gas Fluxes in Eucalyptus Plantations with Different Soil Organic Carbon Content	
Ozone Effects on Soil Microbial Community of Rice Investigated by <sup>13</sup> C Isotope Labeling	
Enhanced Aerobic Degradation of Low Chlorinated Biphenyls by Constructing Surfactants Burkholderia xenovorans LB400 Based Sys	
Identification of a High Ammonia Nitrogen Tolerant and Heterotrophic Nitrification-Aerobic Denitrification Bacterial Strain TN-14 a	
recommendation of a ringar minimum a rintegen rotetant and reconstruction recommendation bacterial status river in	
Isolation and Identification of Electrochemically Active Microorganism from Micro-Aerobic Environment	
Characteristics of Microbial Community Structure During Isolation of Electrical Active Bacteria	
Predicting Copper Toxicity to Hypophthalmichthys molitrix and Ctenopharyngodon idellus Based on Biotic Ligand Model	
Macrozoobenthos Community Structure and Water Quality Evaluation of Tian'e Zhou Oxbows	
Species Selection Methods in Deriving Water Quality Criteria for Aquatic Life ZI	
	• • •
Correlations Between HBCD and Thyroid Hormone Concentrations in Human Serum from Production Source Area	
Preparation of Cobalt Oxide Mesoporous Metallic Oxide-Clay Composites and Their Catalytic Performance in the Oxidation of Benzer	
Catalytic Degradation of Naphthalene by CuO(-CeO <sub>2</sub> )/Al <sub>2</sub> O <sub>3</sub>	
Toxicity Tests and Their Application in Safety Assessment of Water Quality	
Assessment on the COD Discharge Status of Municipal Wastewater Treatment Plant in a City of China	
Assessment of Ecological Environment Benefits of Reclaimed Water Reuse in Beijing	
Construction of Index System for Early Warning of Persistent Organic Pollutants (POPs) Pollution Incidents in China  Environmental Damages Assessment; Establishment of System Framework in China	

## 《环境科学》第6届编辑委员会

主 编:欧阳自远

副主编:赵景柱 郝吉明 田 刚

编 委: (按姓氏笔画排序)

万国江 王华聪 王凯军 王绪绪 田 刚 田 静 史培军

朱永官 刘志培 汤鸿霄 陈吉宁 孟 伟 周宗灿 林金明

欧阳自远 赵景柱 姜 林 郝郑平 郝吉明 聂永丰 黄 霞

黄耀 鲍强潘纲潘涛魏复盛

# 环维种草

#### (HUANJING KEXUE)

(月刊 1976年8月创刊)

2014年10月15日 第35卷 第10期

#### ENVIRONMENTAL SCIENCE

(Monthly Started in 1976)

Vol. 35 No. 10 Oct. 15, 2014

主	管	中国科学院	Superintended	by	Chinese Academy of Sciences
主	办	中国科学院生态环境研究中心	Sponsored	by	Research Center for Eco-Environmental Sciences, Chinese
协	办	(以参加先后为序)			Academy of Sciences
		北京市环境保护科学研究院	Co-Sponsored	by	Beijing Municipal Research Institute of Environmental
		清华大学环境学院			Protection
主	编	欧阳自远			School of Environment, Tsinghua University
		* * · · · · · · · =	Editor-in -Chief	•	OUYANG Zi-yuan
编	辑	《环境科学》编辑委员会	Edited	by	The Editorial Board of Environmental Science (HUANJING
		北京市 2871 信箱(海淀区双清路			KEXUE)
		18号,邮政编码:100085)			P. O. Box 2871, Beijing 100085, China
		电话:010-62941102,010-62849343			Tel:010-62941102,010-62849343; Fax:010-62849343
		传真:010-62849343			E-mail: hikx@ rcees. ac. cn
		E-mail; hjkx@ rcees. ac. cn			http://www.hjkx.ac.cn
.1.	11-	http://www.hjkx.ac.cn	Published	bv	Science Press
出	版	4 4 k k			16 Donghuangchenggen North Street,
		北京东黄城根北街 16 号			Beijing 100717, China
CD Ed 3 <del>1</del>		邮政编码:100717	Printed	bv	Beijing Bei Lin Printing House
印刷装		北京北林印刷厂	Distributed	by	Science Press
发	行	4 4 8 8 4	Distributed	Dy	Tel:010-64017032
		电话:010-64017032			E-mail: journal@ mail. sciencep. com
订购	处	E-mail:journal@ mail. sciencep. com	Domestic		All Local Post Offices in China
		全国各地邮电局			
国外总统	又1丁	中国国际图书贸易总公司	Foreign		China International Book Trading Corporation (Guoji
		(北京 399 信箱)			Shudian), P. O. Box 399, Beijing 100044, China

中国标准刊号: ISSN 0250-3301 CN 11-1895/X

国内邮发代号: 2-821

国内定价:90.00元

国外发行代号: M 205

国内外公开发行